Քիմիական գիտություններ

XI, № 3, 1958

Химические науки

М. Г. Манвелян, Г. Г. Бабаян и А. А. Абрамян

Изучение термического обезвоживания гидрометасиликата натрия (Na,SiO, 9H,O)

Гидросиликат натрия получается в большом количестве по разработанной Химическим институтом АН АрмССР схеме комплексной переработки нефелиновых сиенитов (способ М. Г. Манвеляна). Представляет интерес выявить условия для получения безводной соли Na_2SiO_2 или с содержанием одной или двух молекул воды. В литературе имеется ряд работ, посвященных изучению систем Na_2SiO_3 — H_2O , Na_2O — SiO_2 — H_2O [1]. В этих системах установлено наличие ряда твердых фаз, а именно: $Na_2SiO_3 \cdot 9H_2O$; $Na_2SiO_3 \cdot 8H_2O$; $Na_2SiO_3 \cdot 6H_2O$; $Na_2SiO_3 \cdot 5H_2O$, $Na_3HSiO_4 \cdot 5H_2O$; $Na_3HSiO_4 \cdot 2H_2O$; $3Na_2O \cdot 13SiO_2 \cdot 11H_2O$ $Na_2SiO_3 \cdot 5H_2O$.

Матвеевым [2] на пирометре Курнакова изучалась термическая дегидратация силикатов натрия состава Na₂O·3,3·SiO₂·nH₂O, где n==2, 2,5 и 3. Им было показано, что кривые нагревания имеют два общих эндотермических эффекта: первый—при 130—150°, отвечающий выделению гигроскопической влаги, второй—при 640—650°, соответствующий полному удалению гидратной воды.

Из числа работ, связанных с вопросами строения силикатов натрия [3], особый интерес представляет теория Тило [4], который на основании аналогии со строением Са[H₂SiO₄] считает и гидросиликаты натрия кристаллогидратами кислой динатриевой соли монокремневой кислоты, т. е.

Согласно этой теории, надо полагать, что последняя молекула воды будет отличаться от остальных прочностью связи с Na₂SiO₂ и для ее удаления потребуется более высокая температура.

Методика эксперимента

Изучалось термическое обезвоживание гидрометасиликата натрия (Na₂SiO₃·nH₂O), полученного из Опытного глиноземного цеха Каназ. После двойной перекристаллизации продукт был подвергнут химическому анализу и в нем были установлены: Na₂O—17,92°/₀, SiO₃—17,23°/₀, CO₂—0,21°/₀, H₂O—64,27°/₀ (сумма 99,65°/₀).

Термическое обезвоживание Na₂SiO₃·9H₂O проводилось на двух установках: а) снималась кривая нагревания Na₂SiO₃·9H₂O на пирометре Курнакова с одновременным измерением количества выделяющейся воды и б) изучалось изобарическое обезвоживание Na₂SiO₃·9H₂O на приборе, представляющем собой видоизмененные кварцевые весы Мак-Бена [5].

Нагревание Na₂SiO₃·9H₂O с регистрацией температуры на пирометре Курнакова

Непосредственное измерение количества воды, выделяющейся при нагревании Na₂SiO₃·9H₂O, представляет значительные экспериментальные трудности. В литературе [6] описан метод фиксирования выделяющейся при нагревании воды с помощью гидрида кальция. При прохождении водяных паров через CaH₂ происходит мгновенная ре-

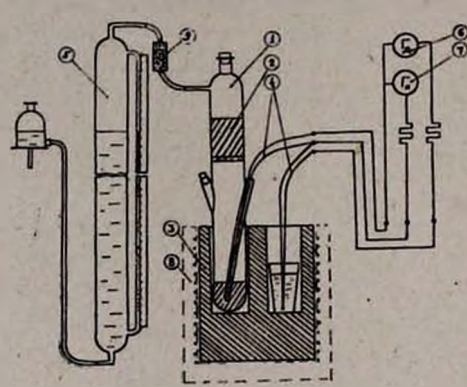


Рис. 1. Схема установки для нагревания Na₃SiO₃·9H₃O в присутствии CaH₂. 1—реакционный сосуд, 2—гидрид кальций, 3— железный блок, 4— платина-платинородиевая термопара, 5—газовая бюретка, 6—гальванометр дифференциальный, 7—гальванометр простой, 8—печь, 9—ловушка.

акция с выделением эквивалентного количества водорода. Нами была собрана установка для фиксирования выделяющейся воды, схема которой приведена на рисунке 1. Прибор 1 представляет собой запаянную с одного конца трубку (диаметр 2,5 см, высота 16 см) из термостойкого стекла, со впаянным на расстоянии 3 см от дна стеклянным фильтром 1 и с отверстиями для ввода исследуемой соли. гидрида кальция и термопары. В предварительно взвещенный сосуд 1 засыпался Na₂SiC₃·9H₂O повторным взвешиванием определялся точный вес навески. После ввода измельченного СаН, отверстие закрывалось пробкой и прибор устанавливался (для равномер-

ности нагрева) в металлический блок 3, газоотводная трубка соединялась с газовой бюреткой 5, в прибор вводилась платина—платинородиевая термопара. Дифференциальная термопара помещалась в тигель с прокаленной окисью алюминия в качестве эталона; термопары калибрировались по температурам кристаллизаций чистейших металлов: Al, Pb, Sn, а также температурой кипения дистиллированной воды.

Экспериментальная часть

Средняя скорость нагрева— $25,0^{\circ}$ мин. Навеска колебалась от 0,34 до 0,36 г. Термограмма нагрева $Na_2SiO_3 \cdot 9H_2O$ до температуры плавления имеет три остановки (рис. 2); первая отвечает температу-

ре плавления Na₂SiO₃·9H₂O и равна 39°; вторая по всей вероятности соответствует удалению воды, третья—плавлению Na₂SiO₃ и равна 1085°.

Следует указать еще на одну остановку при температуре 842°, которая не всегда проявляется на термограмме и природа которой не

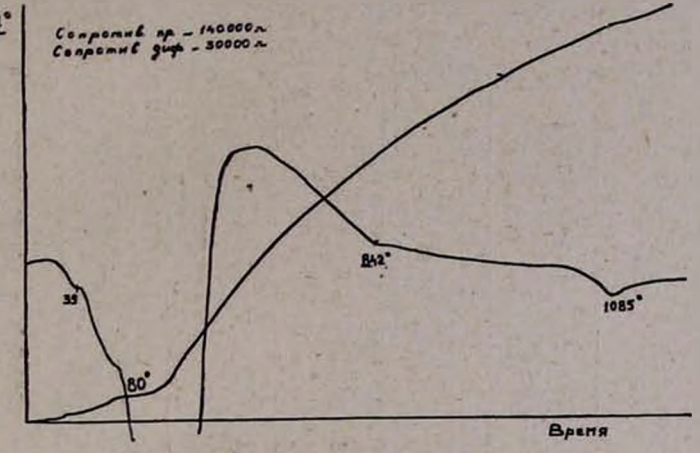


Рис. 2. Термограмма Na₂SiO₃-9H₂O.

ясна. Возможно она связана с наличием некоторого количества Na₂CO₃ в навеске.

Для расшифровки природы второго эффекта нами был применен нагрев Na₂SiO₃·9H₂O со средней скоростью, равной 11,5 град/мин. по вышеописанной методике, с применением CaH₂ (рис. 3).

Дифференциальная кривая имеет два минимума, из коих первый отвечает температуре плавления Na₂SiO₃·9H₂O, а второй—удалению основного количества воды из соли и соответствует температуре 80°. Кривая нагрева простой термопары имеет одну большую остановку. Кривая выделения воды при нагревании Na₂SiO₃·9H₂O, полученная гидридным методом (рис. 3, табл. 1), имеет некоторый индукционный

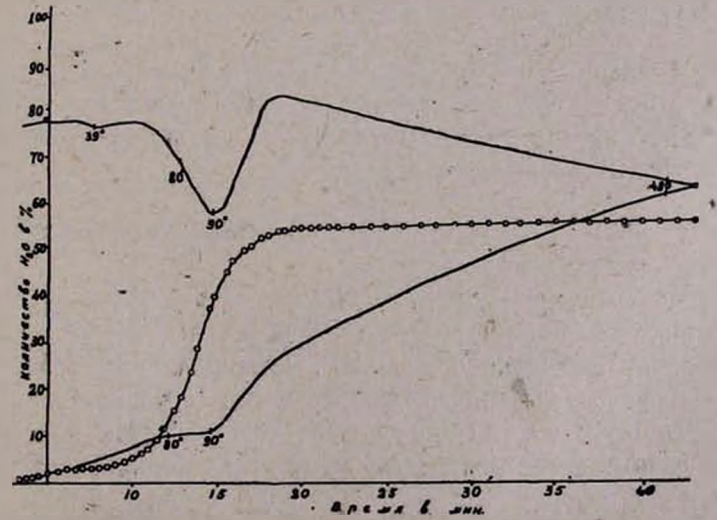


Рис. 3. Термограмма нагрева Na₂SiO₂·9H₂O в присутствии CaH₂.

период, отвечающий нагреванию образца от 20 до 80°, при котором почти не наблюдается выделения воды. От 80 до 90° происходит бурное выделение воды и теряется примерно 5 молей. При этом начало

Таблица 1

Сопротивление пр. $=77000 \ \Omega$ t воды $=17^{\circ}$		і воздуха = 17
--	--	----------------

12	Comporni	расыне дл	p. — 10000	-	4		-	
Время в мин.	Кол-во выдел.	Кол-во выдел. Н _в О в °/ ₀ от веса навески	Время в мин.	Кол-во выдел.	Кол-во выдел. Н _в О в 0/о от веса навески	Время в мин.	Кол-во выдел. газа в мл	Кол-во выдел. Н.О в 0/0 от веса навески
1 2 3 4 5 5 5,5 6 7 8 9 10 10,5 11 11,5 12,5 13 13,5 14 14,5 15,5 16	0 2 4 5,5 12 13 14 15 16,5 20 29 33,5 40 51 63 77 95 116 150 184 209 229 246	0 0.379 0.757 1.042 2.27 2.41 2.66 2.85 3.13 3.79 5.6 6.35 7.59 9.57 11.95 14.62 18.0 22.1 28.5 34.8 39.7 43.4 46,7	16,5 17 17,5 18,5 19,5 20,5 21,5 22,2 23,2 24,25 26,27 28,29 30,31 32,33	259 266 272 278 280 283 283,5 284 285 285 286 286 286 286 286 287,5 287 287,5 288 289 290 290,5 291,5 292,5	49,2 50,5 51,7 52,7 53,2 53,7 53,8 53,9 53,9 54,3 54,3 54,3 54,4 54,4 54,5 54,6 54,8 54,6 54,8 55,1 55,1 55,2 55,4 55,5	34 35 36 37 38 39 40 41 42 43 44 45 46 47 48 49 50	293 293 293 293 294 294 294 294,5 295,5 296 296,5 297 297 297 297 297	55,6 55,6 55,7 55,75 55,75 55,8 55,9 56,2 56,4 56,4 56,4 56,4 56,4

^{• —} засечка времени на термограмме.

выделения основного количества воды и его конец хорошо согласуются с началом и концом остановки на кривой нагрева простой термопары. Далее кривая плавно поднимается до полного обезвоживания Na₂SiO₈·9H₂O, наступающего при 480°.

Метод изобарического обезвоживания гидрометасиликата натрия

Исходная навеска гидрометасиликата натрия была равна 0,1846 г, скорость пропускаемого через систему воздуха 3,5 л/час.; насыщение воздуха влагой производилось при 20°. Повышение температуры, после достижения равновесия, производилось через пять градусов до 100°, далее—через 10, 20° и, начиная с 250°, через 50°. На основании полученных данных была построена диаграмма термического обезвоживания системы Na₂SiO₃—Na₂SiO₃·9H₂O (рис. 4, табл. 2).

Таблица 2 Изобарическое обезвоживание гидросиликата натрия (Na₂SiO₃-9H₂O) Навеска 0,1836 г Парциальное давление 17.5 мм Нg

	Убыль	веса соли	Содержани воды в на	Колич. оставшей	
B °C	Вг	в ⁰ / ₀ от исходной навески	ВЗ	моли на 1 г/моль безвод. соли	ся воды в ⁰ / ₀ от исходного его содержан.
30	0,01325	7,22	0,09280	7,8	87,5
35	0.02573	14,01	0,06710	5,7	63,3
40	0.02058	11,20	0,04649	3,9	43,7
45	0,00759	4,14	0,03890	3,3	36,7
50	0,00109	0,594	0,03781	3,2	35,7
55	0.00466	2,53	0,03315	2,8	31.2
60	0.00173	0,94	0,03142	2,6	29,6
65	0,00152	0,83	0,0299	2,5	28,1
70	0,00131	0.71	0,02859	2,4	26,9
75	0.00173	0,943	0,02686	2,3	25,3
80	0.00111	0,604	0.02575	2,2	24,2
85	0,00152	0,83	0,02423	2.1	22,8
90	0 00131	0,712	0,02292	1,9	21,6
95	0.00110	0,599	0,02182	1,8	20,6
100	0.00550	2,99	0,01632	1,4	15,4
110 141	0.00073	0.398	0 01559	1,3	14,7
152	0.00242	1,32	0,01317	1,1	12,4
162	0.00073	0,625 0,397	0,01202	1,0	11,3
185	0.00066	0.36	0,01129	0,95	10,62
250	0.00000	0,825	0,01063 0.00911	0.9	10,05
300	0,00157	0,855	0.00754	0,8	8,60
350	0,00115	0.625	0,00639	0,6	7,10 6,02
400	0.062	1,41	0.003377	0,3	3,55
450	0.0022	1.19	0.00377		1,48
500	0,0022	0,855	0.00000	0.1	0,40
550	0.00137	0.0	0,0000	0	0
	10.0	0,0			
Сумма	0,10605				

Процесс изобарического обезвоживания происходит интенсивно при нагревании образда от 30 до 100°. Наклон кривой обезвоживания свидетельствует о непрерывном удалении воды. Начиная со 100° кривая резко поднимается вверх и окончательное обезвоживание образца происходит только при 500°. Считаем вполне закономерным некоторое расхождение в скорости обезвоживания между гидридным и изобарическим методами, вследствие неравновесных условий нагревания при гидридном методе.

Следует указать на изменение хода кривой термического обезвоживания, которое наблюдается со 100°. В соли после такого излома сохраняется еще 1,4 моля воды. Второй, более слабый излом, наблюдается при составе, содержащем одну молекулу воды.

Для получения данных, необходимых для практического осуществления обезвоживания гидрометасиликата натрия, был проведен ряд опытов прямого нагревания Na₂SiO₃·9H₂O на кварцевых весах. Кривая термического обезвоживания (рис. 5) после небольшого индукпи-

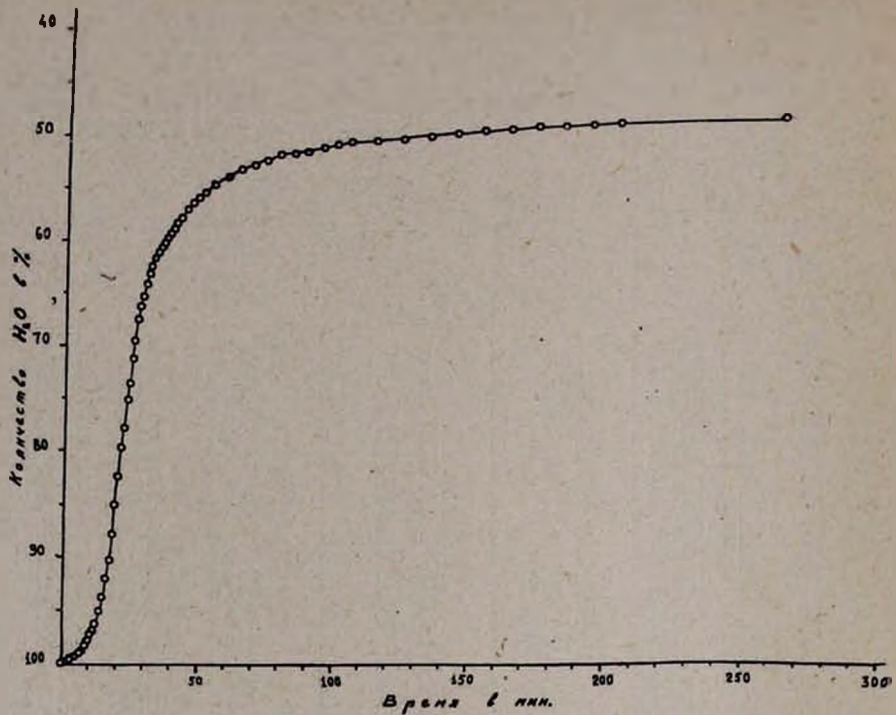


Рис. 4. Кривая изобарического обезвоживания гидрометасиликата натрия.

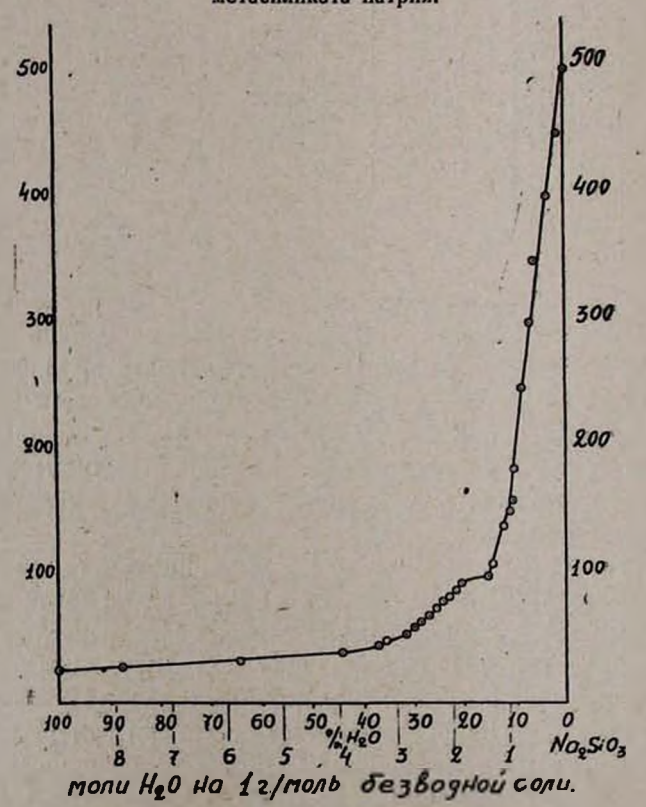


Рис. 5. Кривая нагревания гидрометасиликата натрия от 20 до 120°C.

онного периода резко поднимается вверх, далее, за более длительное время, при 120° приходит в равновесное состояние. При этом теряется 50,8%, воды первоначально содержащейся в навеске. Наряду с измерением уменьшения веса производилось также визуальное наблюдение за состоянием соли. Конечный продукт представляет из себя стекловидную массу, плотно прилегающую к стенкам чаши весов.

С целью получения легко измельчаемого конечного продукта процесс обезвоживания исследовался при более высоких температурах (300°), в условиях непосредственного ввода навески в печь (рис. 6). В этом случае процесс термического обезвоживания происходит очень быстро и заканчивается в течение 1,5 минут; при этом в соли остается 0,8 молей воды. По-видимому при такой температуре навеска не успевает расплавиться, сразу выделяет из своего состава кристаллизационную воду и превращается в белую, легко измельчаемую массу.

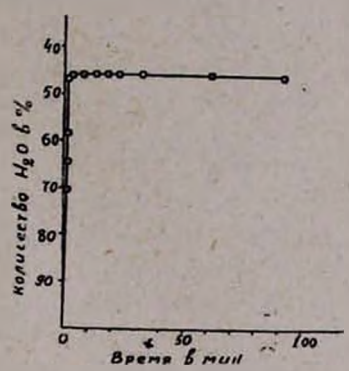


Рис. 6. Кривая быстрого нагрева гидрометасили ката натрия до 300°C.

Выводы

- 1. Изучен процесс термического обезвоживания гидрометасиликата натрия при помощи пирометра Курнакова и кварцевых весов непрерывного взвешивания.
- 2. Показано, что основное количество воды (пять молекул) из Na₂SiO₈·9HO теряется в температурном интервале 80—90°.
- 3. Взвешиванием на кварцевых весах в изобарических условиях установлено, что потеря воды происходит непрерывно до 100°, где наблюдается излом, отвечающий содержанию 1,4 молекулы воды; второй, более слабо выраженный излом, наблюдается у состава, отвечающего содержанию 1 молекулы воды. Оставшееся количество воды удаляется при нагреве до 500°.
- 4. Указано на возможность получения легко измельчаемого продукта с содержанием воды не более 0,8 молей при быстром нагреве соли до 300°.

Научно-исследовательский институт химии Совнархоза АрмССР

Поступило 17 XI 1957.

Մ. Գ. Մանվելյան, Հ. Գ. **Բաբայան և Հ. Ա. Աբրահամյան**

цгфпфпьг

գրատորնիքաակն տրձուն ya²2!O³ ոստրտնու տանդարրբեր զշտվուղը, վուղ է ըտահիսւղի չիմեսպրատորնինաս ծ ղսնրկուն ծեր չրա զիտոկը։ <u>դրդ</u> ջրջերիրտներ որդուսություն ծրուրանրում հանդարար արձատո որդուսուն արձատ-

9H₂O իզորարալին ջրազրկումը, օգտագործելով Մակ-Բենի ձևափոխված կվար-9H₂O իզորարալին ջրազրկումը, օգտագործելով Մակ-Բենի ձևափոխված կվար-9H₂O ծերմալին ջրազրկում մասին։ Մենք կատարել ենք այդ պրոցեսի ուսուննասիրվան մի շարք փորձեր։ Na₂SiO₃.9H₂O-ի ջերմալին ջրազրկունն ուսուննասիրվան մի ջարք փորձեր։ Na₂SiO₃.9H₂O-ի ջերմալին ջրազրկունն 9H₂O-ի տաքացման կորը Կուրնակովի պիրոմետրի օգնությամբ, միաժամա-9H₂O իզորարալին ջրազրկումը, օգտագործելով Մակ-Բենի ձևափոխված կվար-

Na₂SiO₃·9H₂O-ը կալցիումի հիդրիդի ներկալությամբ տաջացնելիս ստացված տվյալները ցույց են տալիս, որ ջրի հիքնական քանակության կորուստը մոտ 5 մոլեկուլ, տեղի է ունենում մոտ 85°-ում։ Այդ առանձնապես պարզ երևում է ջրի անջատման կորի վրա, որը հատկապես այդ ջերմաստճանում ունի մեծ թորչը դեպի վեր։ Ջրի հետադա կորուստը տեղի է ունենում հետևլալ կերպ. լոթերորդ մոլեկուլը հեռանում է 120°-ում, ութերորդը 220°-ում իսկ իններորդը միալս 480°-ում։

Ջերմալին ջրազրկման կորի ընթացքի փոփոխութիունը դիտվում է սկսած 100°-ից։ Աղի մեջ, կորի ալդպիսի ուղղության փոփոխումից հետո, պահպանսվում է 1,4 մոլ ջուր։ Կորի ուղղության հետևլալ, ավելի թույլ փոփոխումը համապատասխանում է մեկ մոլեկուլ ջուր պարունակող բաղադրությանը։ Նատրիումի հիդրոմետասիլիկատի ջրագրկումը դործնականում իրականացնելու համար անհրաժեշտ տվյալներ ստանալու նպատակով կատարվել են մի շարջ փորձեր՝ Na₂SiO₃·9H₂O-ը կվարցալին կշհուքի վրա ուղղակի տաքացնելով։

Մինչև 120° տաքացնելու դեպքում բերմակած ջրի 50,8°/₀։

Նում է հավասարակշոության հրկար ժամանակամիջոցում։ Այս դեպքում կըշնում է հավասարակշոության՝ հրկար ժամանակամիջոցում։ Այս դեպքում կըշ-

Միաժամանակ կատարվել են աղի վիճակի վիզուալ դիտուժներ։

ողուհ վանոգ ատանիքողու ղի բուսվագն։ - դենջրակար ընսշեր ինբրին ըրևկանանրուղ է ինրաճի հառի տասրևկը

արագ է անդի ունենում և վերջանում է 1,5 ըրակեում։ Ըստ երևուլթեն ալս նատրեումի տեսներումի անջերում անակով մենջ ուսուցնասիրել ենջ նատրիումի հիդրոմետասիլիկատը համելի տակով մենջ ուսուցնասիրել ենջ նատրիումի հիջով արագորեն անցաակով մենջ ուսուցնասիրել ենջ նատրիումի հիջով արագորեն անցաակով մենջ ուսուցնասիրել ենչ նատրեում։ Ըստ երևուլթեն ալս լով հեշտությամբ մանրացվող սպիտակ, փիրուն զանգվածի։ ջիրմաստիճանում նատրիումի հիդրոմասում է բլուրեղական ջուրը, վերածվե-

ЛИТЕРАТУРА

- O. F. Tuttle, J. J. Friedman, J. Am. Chem. Soc. 70, 919 (1948); C. L. Baker, J. Phys. Colloid Chem. 54, 299 (1959); C. J. Friedman, J. Am. Chem. Soc. 72, 4570 (1950);
 Wills, J. Phys. Colloid Chem. 54, 304 (1950).
- 2. М. А. Мателев, ЖФХ 27, 269 (1953); Гастворимость стеклообразных силикатов натрия. Промстройиздат, Москва, 1957, стр. 12.
- H. Lange, M. Stackellerg, Z. anorg. Chem. 256, 273 (1948); A. Grund, M. Pizy, Acta Cryst. 1952, 837.
- E. Tilo, Angew. Chem. 63, 201 (1951); Физическая химия сидикатов. ИЛ. Москва, 1956, стр. 23.
- 5. L. Koplend, R. Bragg. J. Phys. Chem. 58, 1075 (1954); В. И. Спицин, И. Д. Колли, ЖНХ 1, 445 (1956).
- 6. А. Г. Елуир, ЖПХ 14, 682 (1941): Л. Г. Берг, Скоростной количественный фазовый анализ. АН СССР, Москва, 1952, стр. 7.